

# **Photoinduzierte Zwei-Nukleonen-Emission \***

F.A. Natter

P. Grabmayr, T. Hehl, M. Mayer, S. Wunderlich  
T. Lamparter, R. Schneider, G.J. Wagner

PiP/TOF Gruppe, A2 Kollaboration

29. September 1997

- NN - Korrelationen und Photoabsorption
- Frühere ( $\gamma$ , NN) - Messungen am MAMI
  - Experimenteller Aufbau
  - Ergebnisse am  ${}^6\text{Li}$ ,  ${}^{12}\text{C}$
  - Vergleich mit Theorie
- Neuere Experimente
  - Aufbau des  ${}^4\text{He}(\vec{\gamma}, \text{NN})$  - Experiments
  - Zwischenergebnisse, Statusbericht
- Ausblick

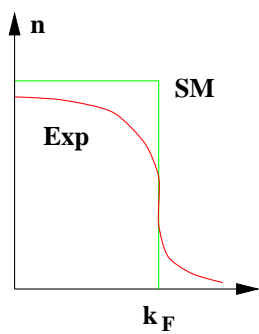
---

\*supported by DFG(Graduiertenkolleg), DAAD, NATO, EU, BMBF



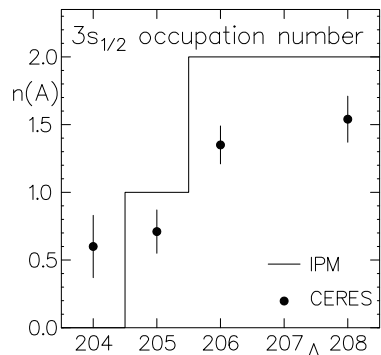
# NN - Korrelationen und Photoabsorption

## Schalen Modell

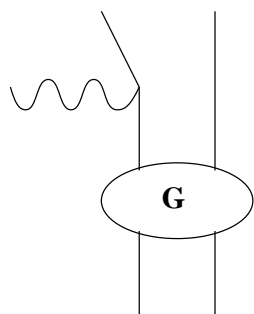


$$\sum V_{ij} = \sum_{\text{IPM+Korr}} V_i + V_{\text{res}}$$

CERES (P. Grabmayr)  
Prog. Part. Nucl. Phys. **29** (92) 251



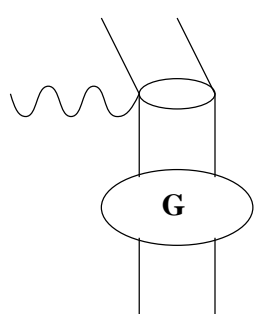
## Nachweis über 1N knockout



BHF Rechnungen mit  
korr. NN WF und real. NN Potential  
(Müther et. al., PRC **51** (95) 3040)

Idee: hohe Impulse/Anregung  $\leftrightarrow$  SRC  
Aber: Anregung > 2N Schwelle

## Nachweis über 2N Emission



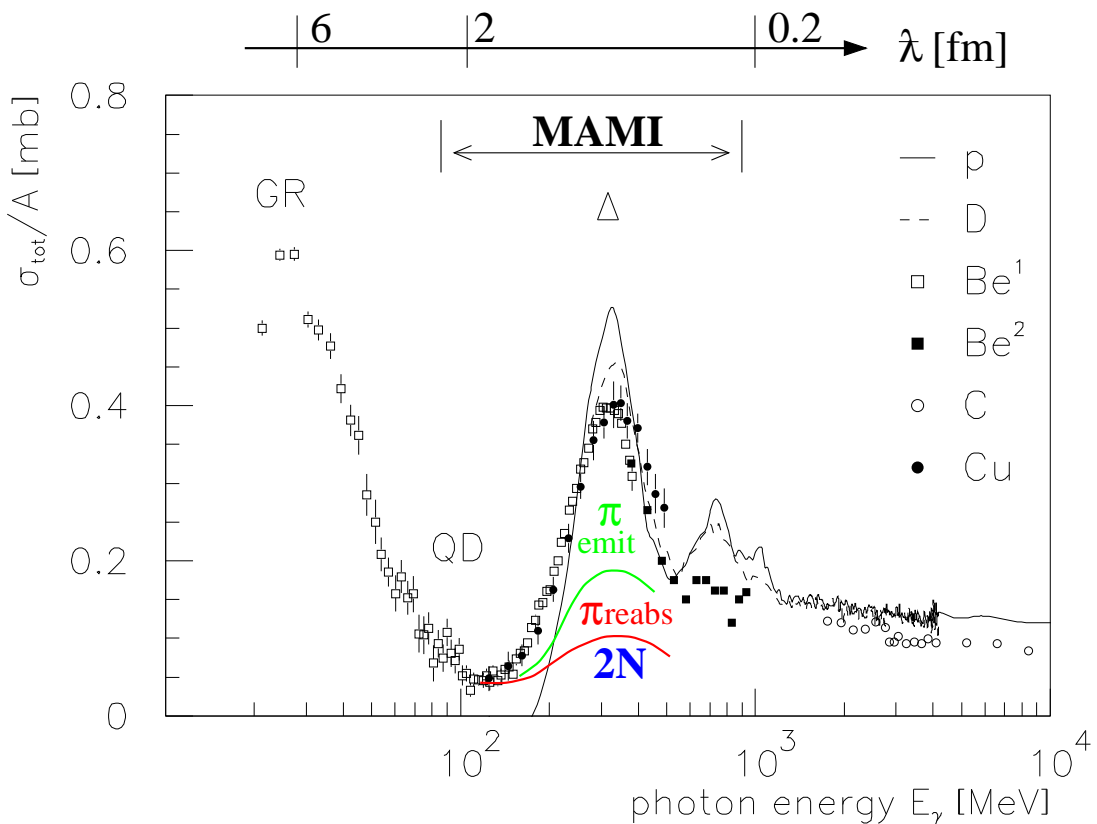
2K Ströme sensitiv auf SRC  
 $\sigma \propto | \langle f | \vec{\epsilon} \vec{j}_{1B+2B} | i \rangle |^2$

Korrelationen                      Photonen  
Tensor (Iso-/Spin)  $\leftrightarrow$  reell (transversal)  
Zentral (sphärisch)  $\leftrightarrow$  virtuell (long+skalar)

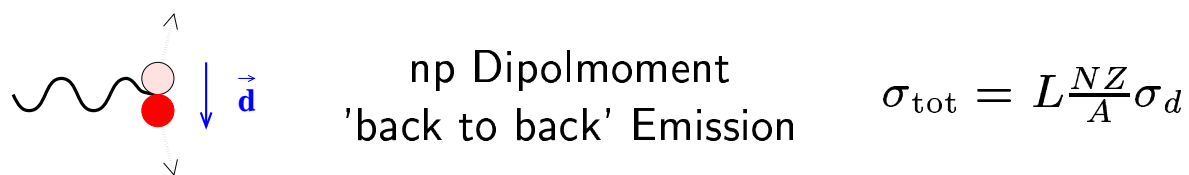


# Experimentelle Einleitung

## Totaler Photoabsorptionsquerschnitt



## Levinger - Modell der Photoabsorption



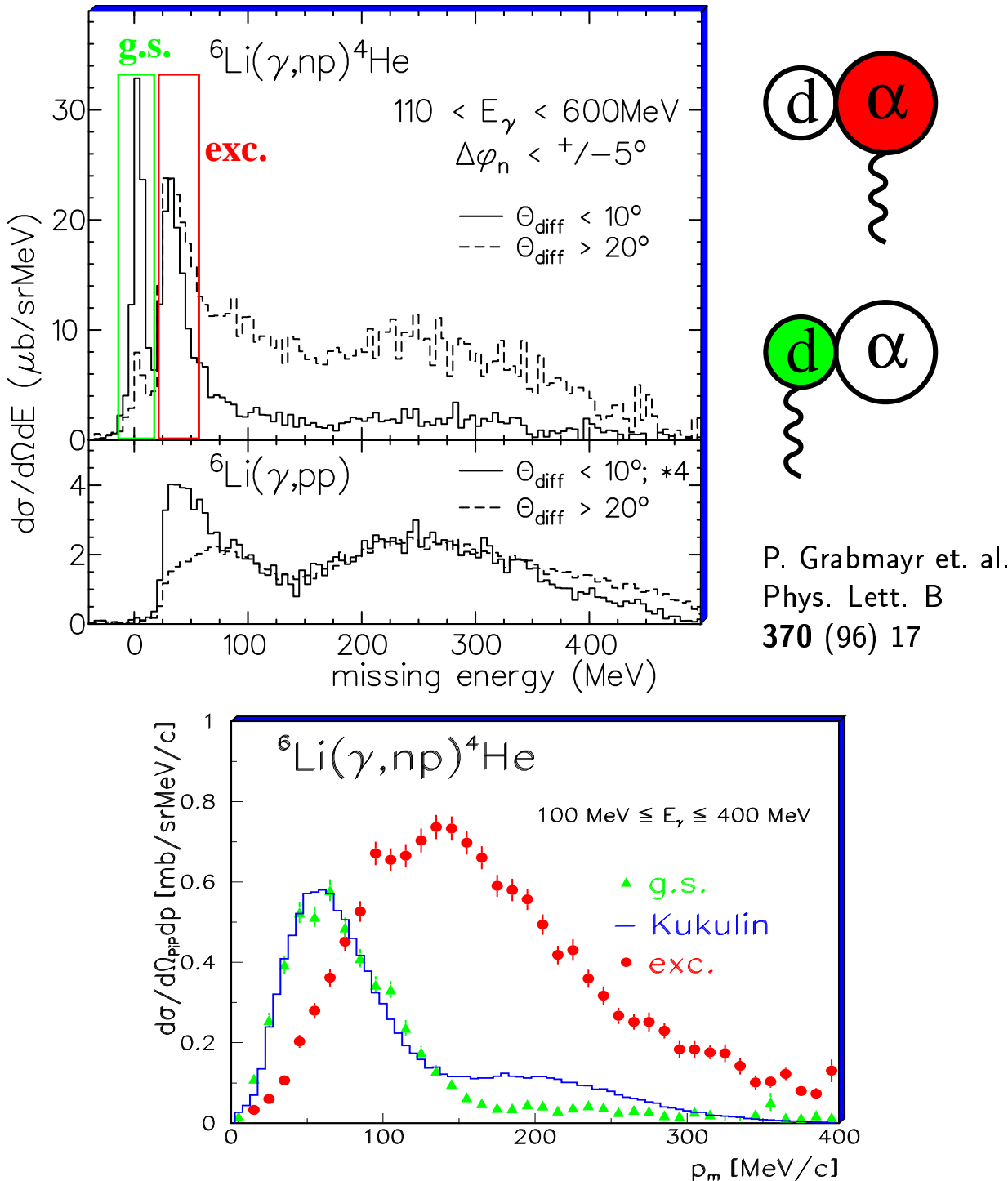
## A2-Halle Schematisch



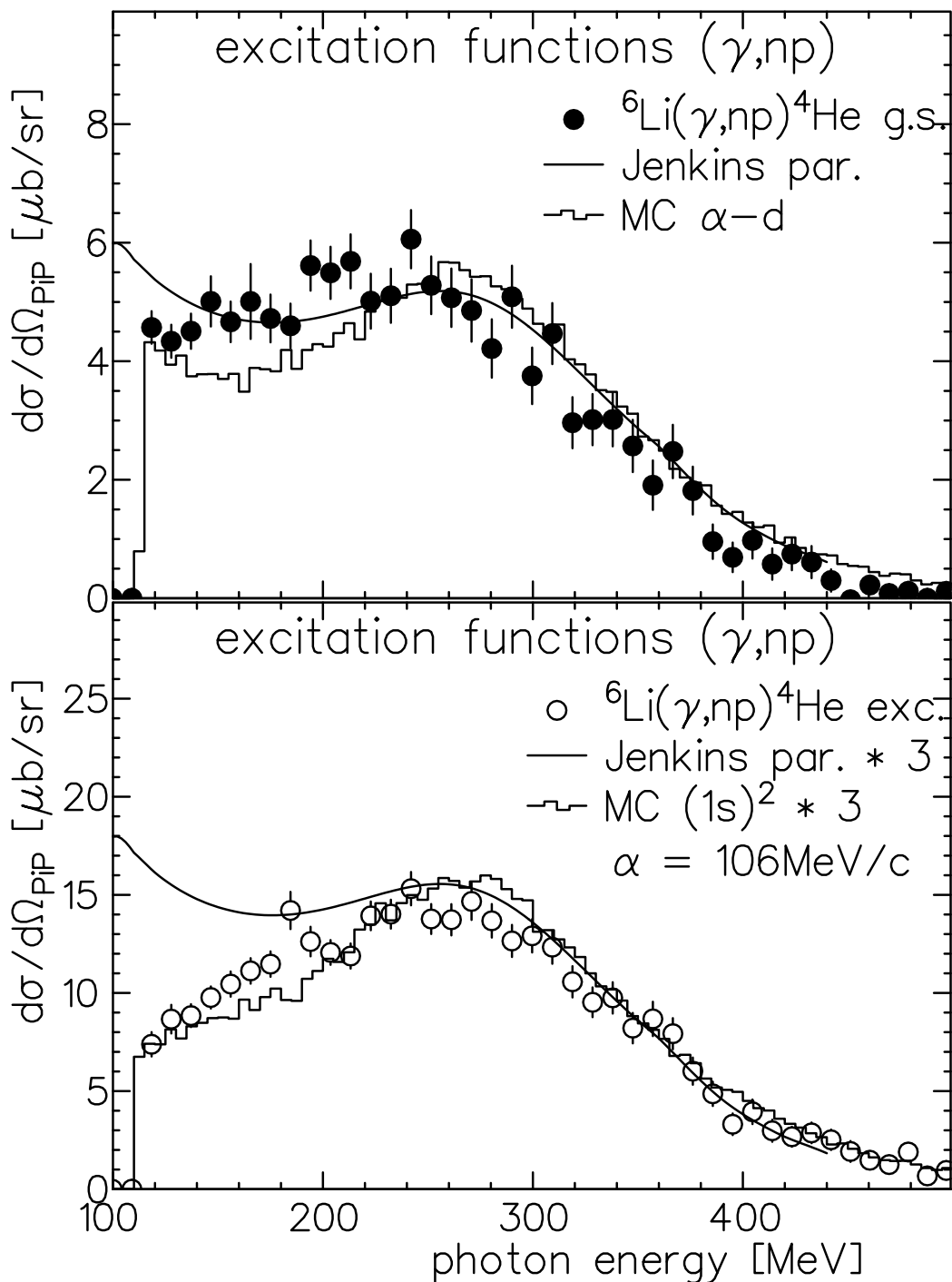
## A2-Halle Photo



## ${}^6\text{Li}$ : $\alpha$ -d Cluster Struktur



## Totaler Photoabsorptionsquerschnitt



## Das Valencia Modell der Photoabsorption

Gottfried Modell (Nucl. Phys. **5** (58) 557)

zero range approx →

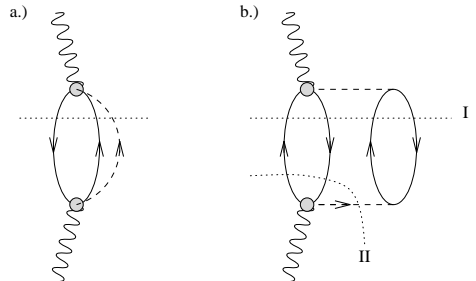
Faktorisierung:  $d\sigma \propto dp_1 dp_2 F(P) S_{fi}(p_{\text{rel}}) \delta(E)$

$S_{fi}$ : QD Photodisintegration (Dynamik)

$F$  : SRC - abhängig (Formfaktor)

Valencia Modell (R. Carrasco, E. Oset (92))

- ⊕ Mikroskopische Berechnung  
der Photoabsorption über  
Photonselbstenergie und  
Cutcosky Regeln



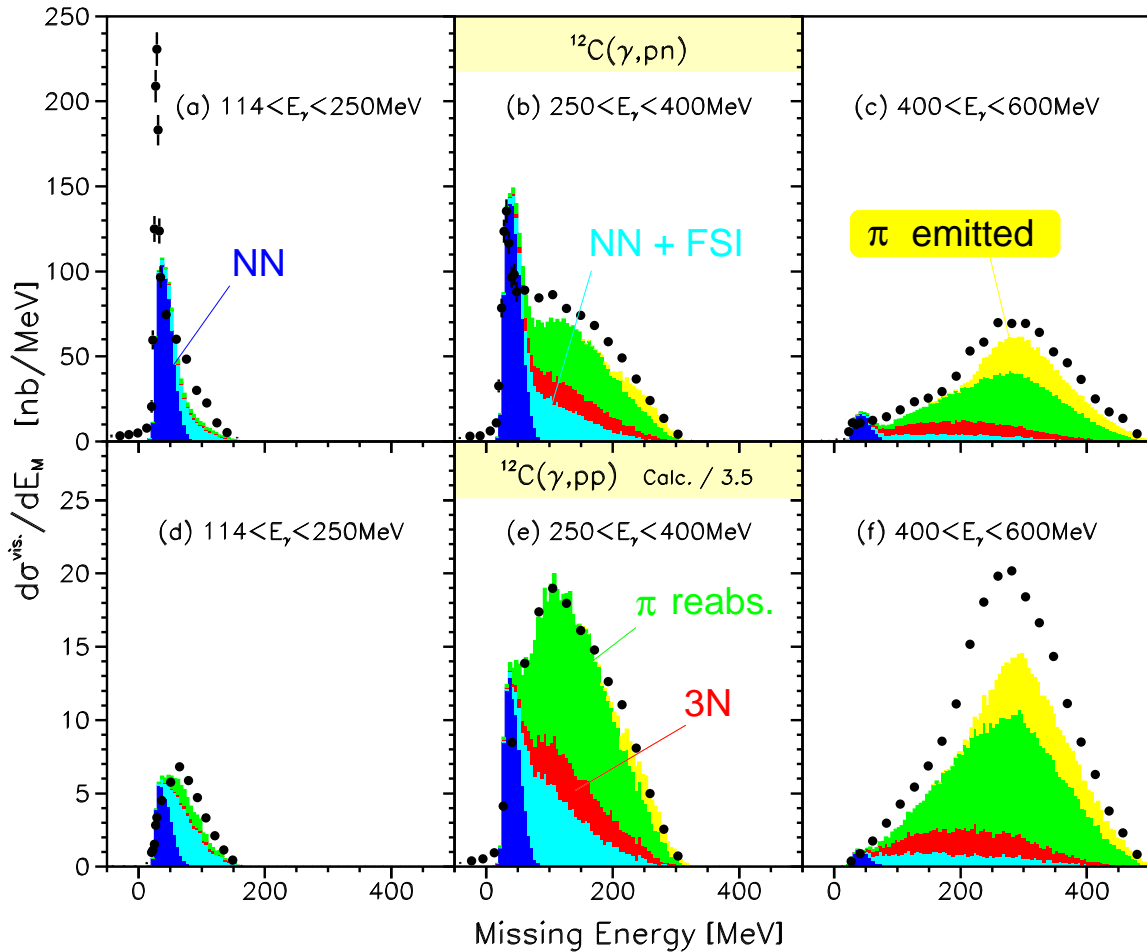
$$\sigma_{\text{tot}} = - \int d^3 r \frac{1}{k} \text{Im} \Pi(k, \rho(r))$$

- ⊖ FSI mit MC Simulation (optisches Potential)
- ⊖ LDA mit Dichte aus Thomas Fermi Modell

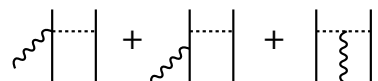
→ Oset - Code als Event Generator  
zum Vergleich mit exp. Daten  
(Schwellen, Akzeptanz, Q-Wert)



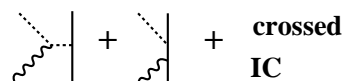
# Reaktionsmechanismen



2N Absorption ( + FSI)



QFπ Produktion (emit/reabs)



3N Absorption



→  $E_m$  ist die Variable zur Anreicherung  
der direkten 2N Absorption

T. Lamperter et. al. ,Z. Phys. A **355** (96) 1; T. Hehl, Prog. Part. Nucl. Phys. **34** (95) 385



## Das Pavia/Gent Modell der Photoabsorption

Für niedrige  $Em$  Kernstruktur wichtig:

### Pavia (C. Guisti)

- ⊖ Faktorisierter WQ (wie Gottfried:  $F(P)S_{fi}(p_{\text{rel}})$ )
- ⊖ Nur ausgewählte Diagramme (Seagull, IC, *kein*  $\pi$ -in-flight)
- ⊕ HO Wellenfunktionen mit Jastrow SRC (RPA Rechnung)
- ⊕ FSI mit verschiedenen optischen Potentialen

$$\rightarrow \sigma \approx J^\mu J_\mu^* \quad \text{mit} \quad J_\mu(q) = \mathcal{F} < f | J(1, 2) | i >$$

und  $\psi \propto \phi_\alpha(1)\phi_\beta(2)g(r_{12})$

### Gent Modell (J. Ryckebusch)

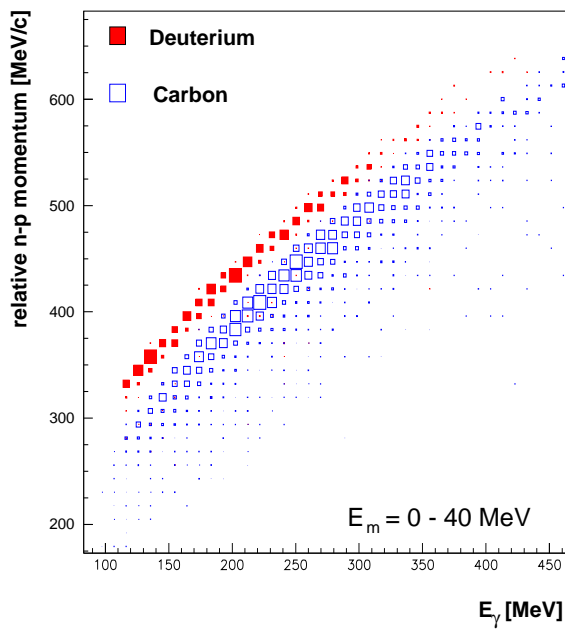
- ⊕ Unfaktorisierter WQ
- ⊕ Behandlung von  $\rho, \sigma, \omega$  macht Monopolfaktoren mit effektivem Cut-off Parameter notwendig
- ⊖ FSI durch DWIA im Ausgangskanal (keine np' FSI)

→ Dominant: NN Photoabsorption an  
np Paaren mit  $n = l = 0, T - 1$



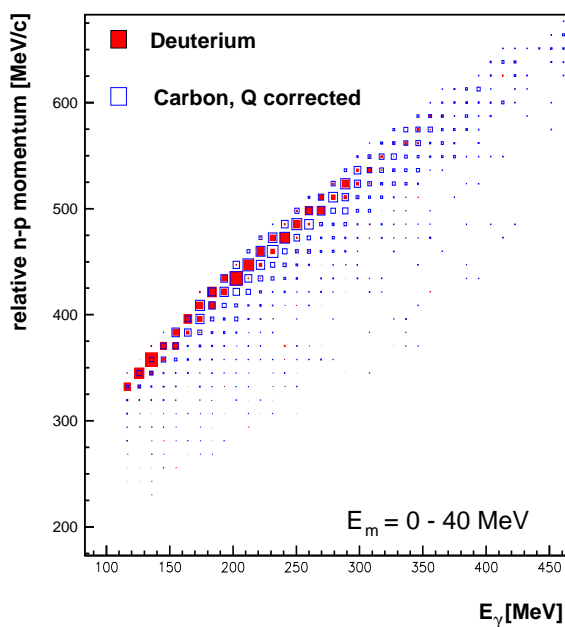
## NN Relativimpuls

Transformation ins np-Ruhssystem ( $p_m$ ) und PWIA  
 → Rekonstruktion des Relativimpulses  $p_{\text{rel}} = |\vec{p}_p - \vec{p}_n|$



$k_F$  verschmiert  
 kin. Zusammenhang  
 zw.  $E_\gamma$  und  $p_{\text{rel}}$   
 → C - Ausbeute  
 'breiter'

Q-Werte verschieden  
 → Vergleich nicht möglich

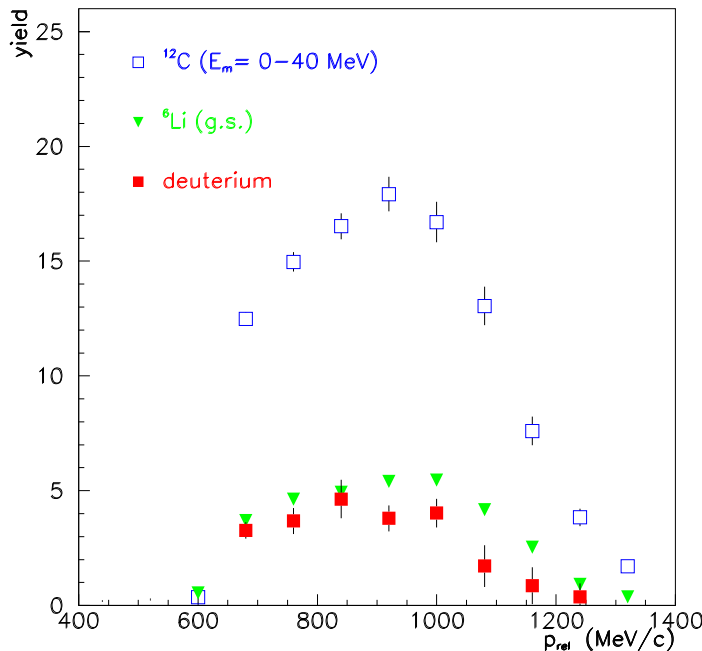


Eventweise  
 Berücksichtigung  
 des Q-Wertes  
 durch  $p_{\text{rel}}$  - Korrektur  
 gemäß  $E_m$



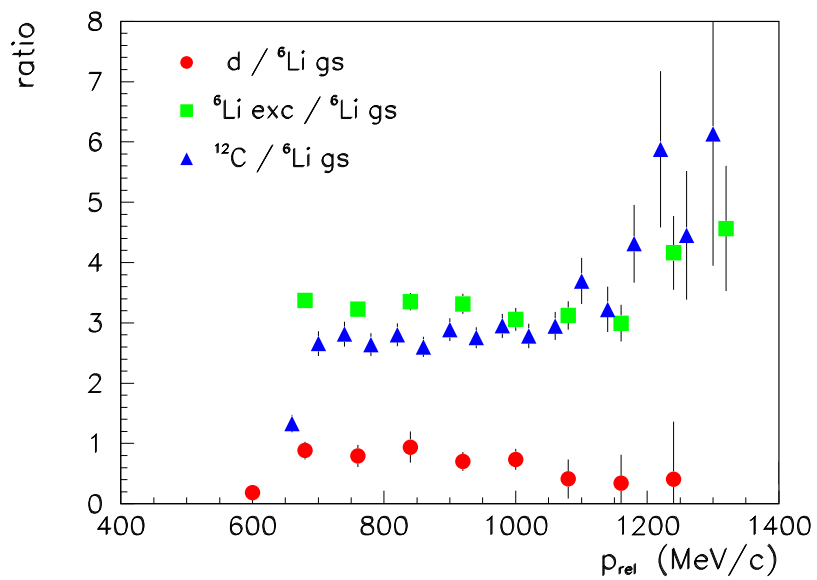
## Relativimpuls - Verteilungen

### Ausbeute der Relativimpulse



Korrigiert für unterschiedliche Raumwinkel Akzeptanz

### Verhältnis der Relativimpulse



## Neue Ansätze und Ideen

### $^{16}\text{O}(\gamma, \text{NN})^{14}\text{C}/^{14}\text{N}$ hochauflösend

Untersuchung der individuellen Reaktionsmechanismen in separaten aufgelösten Endzuständen (Erwartete  $E_m$  Auflösung: 1.5 MeV)  
 → Proposal

### Photonasymmetrie in $^4\text{He}(\vec{\gamma}, \text{NN})$

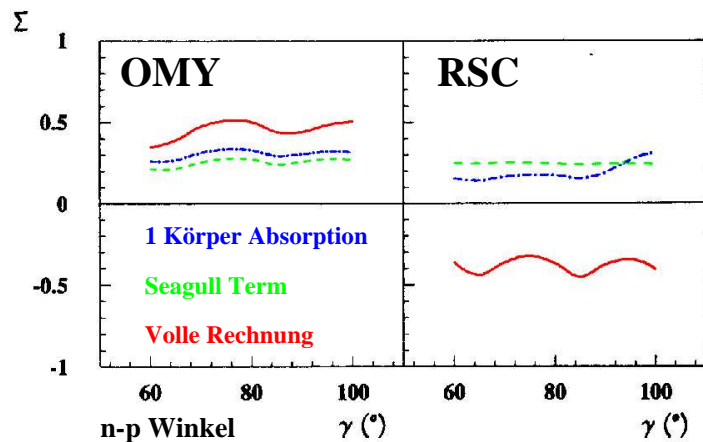
Warum  $^4\text{He}$  ?

- Einfache Struktur (nur 1s) → keine Schalenmischung
- Hohe Dichte, wenig Nukleonen → mehr SRC, weniger FSI
- Verbindung von mikroskopischen Rechnungen mit phänomenologischen Modellen

Warum polarisierte Photonen ?

Neue Observable  $\Sigma$  (Photonasymmetrie) ist sensitiv auf SRC

$$\sigma_{\parallel, \perp} = \sigma_0(1 \pm P_\gamma \Sigma), \quad \Sigma = \frac{1}{P_\gamma} \frac{\sigma_{\parallel} - \sigma_{\perp}}{\sigma_{\parallel} + \sigma_{\perp}} \quad \text{für } (\vec{\epsilon} \parallel, \perp np')$$

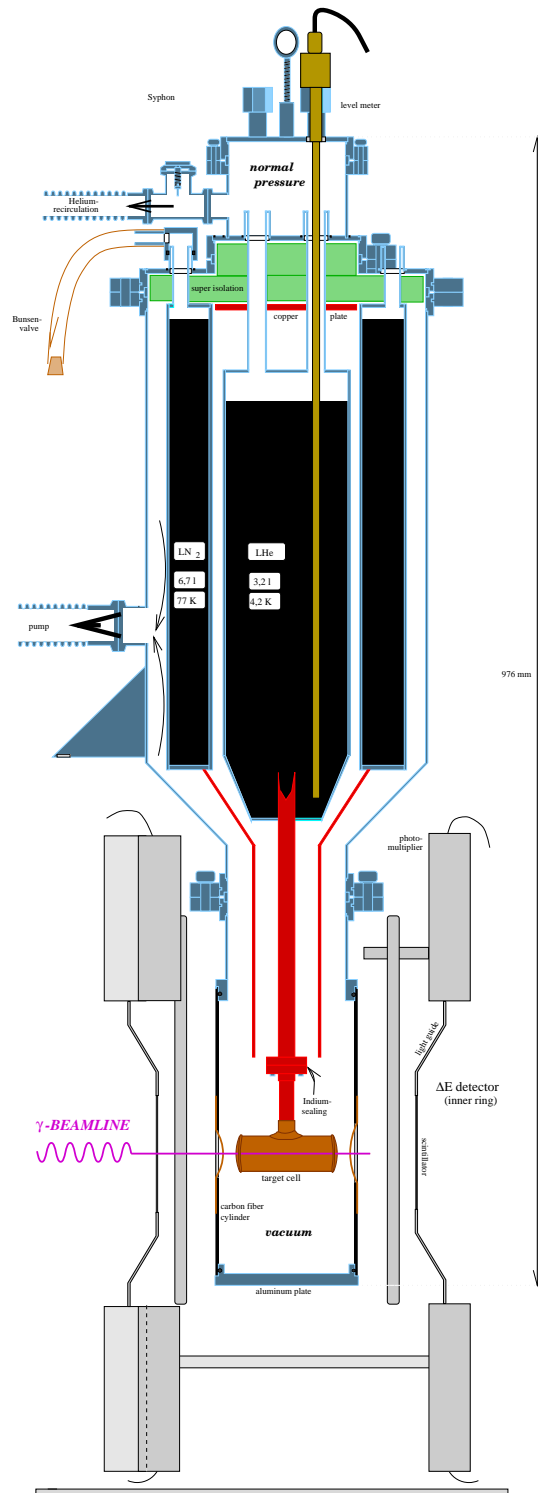


$^{16}\text{O}(\gamma, \text{pn})^{14}\text{N}$

Boffi et. al.  
 Nucl. Phys. A  
**564** (1993) 473



# Das $^4\text{He}$ Kryotarget



## Anforderungen

hohe Targetdichte

Kaum störendes  
Material im Strahl  
(Fenster:  $100\mu\text{m}$  Kapton)

Lange Standzeiten  
(großes He Reservoir  
 $\text{LN}_2$  Wärme Schild)

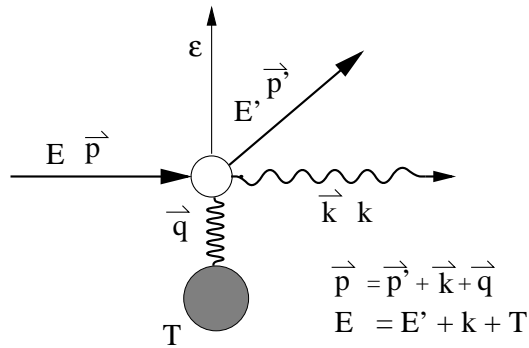
Geometrische  
Beschränkungen aufgrund  
des  $\Delta E$  Detektors

→ Standzeit 12h

## Erzeugung polarisierter Photonen

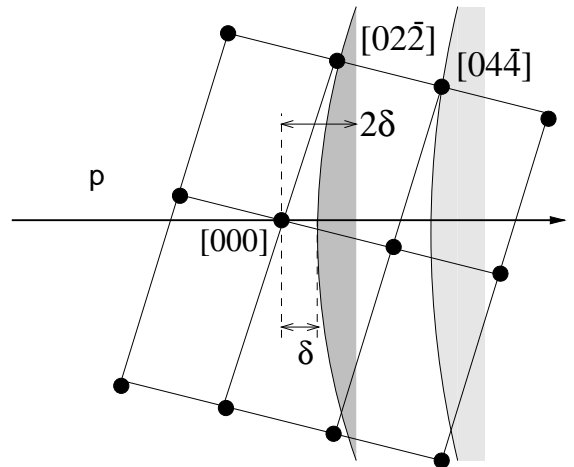
Kinematik:

$$\delta(E_\gamma) = q_l^{\min} < q < 2\delta$$

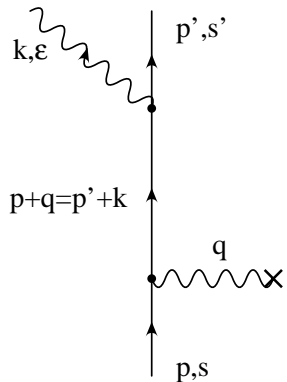


Pancake im Gitter:

$$(q_t/q_l \approx 1000)$$



→ Kohärente Bremsstrahlung, wenn  $\vec{q} = \vec{g}$   
 (Bragg - Bedingung fixiert Impulsübertrag  $\vec{q}$  !)



$$\sigma \approx \left( \frac{\epsilon p_f}{kp_f} - \frac{\epsilon p_i}{kp_i} \right)^2$$

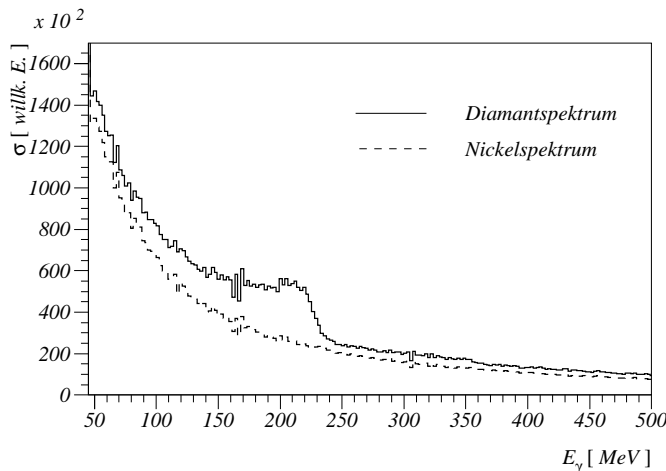
Hauptbeitrag:  
 $\vec{\epsilon} \in (\vec{p}_i, \vec{p}_f)$  Ebene



# Vergleich Experiment und MC Simulation

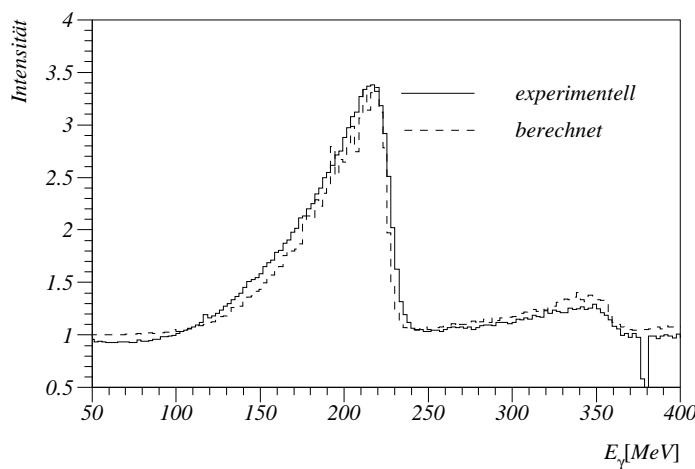
S. Wunderlich, Dipl.Arbeit 9.97

S. Wunderlich, F.A. Natter, Int. Rep. 97/1

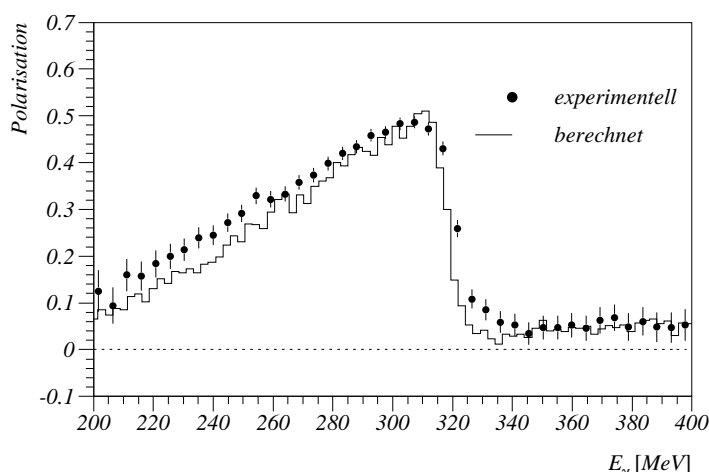


Kohärente und  
inkohärente Beiträge

Gittervektor am Rand des  
Pancakes  
→ Diskontinuität



Experimentelle Effekte:  
Temperatur  
Endl. Strahlausdehnung  
und Transversalimpuls  
Molière Streuung  
Kollimation

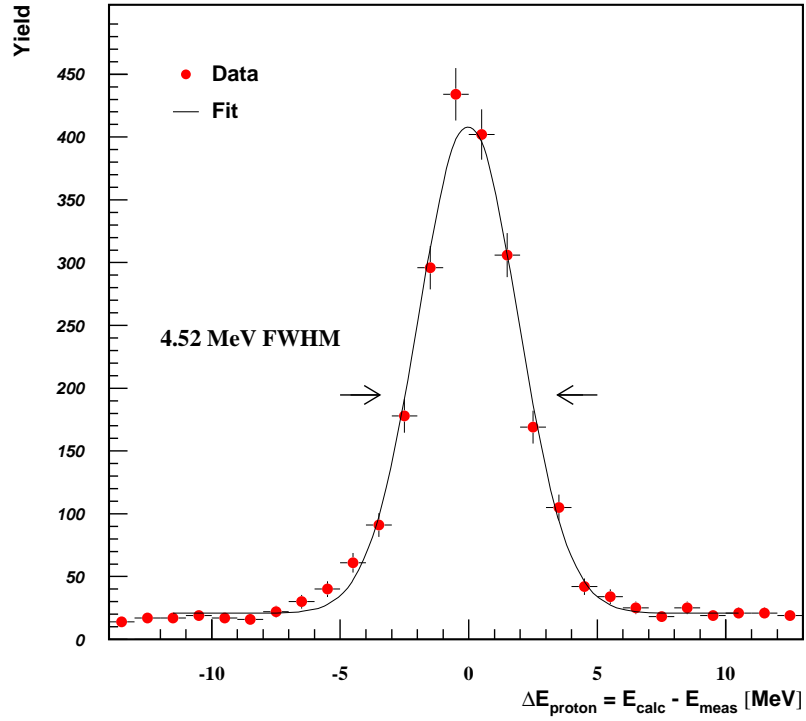


Berechnung der  
Polarisation mit MCB  
und absolute Messung  
mit  ${}^4\text{He}(\gamma, \pi^0)$   
A. Kraus, M. Schumacher,  
to be published

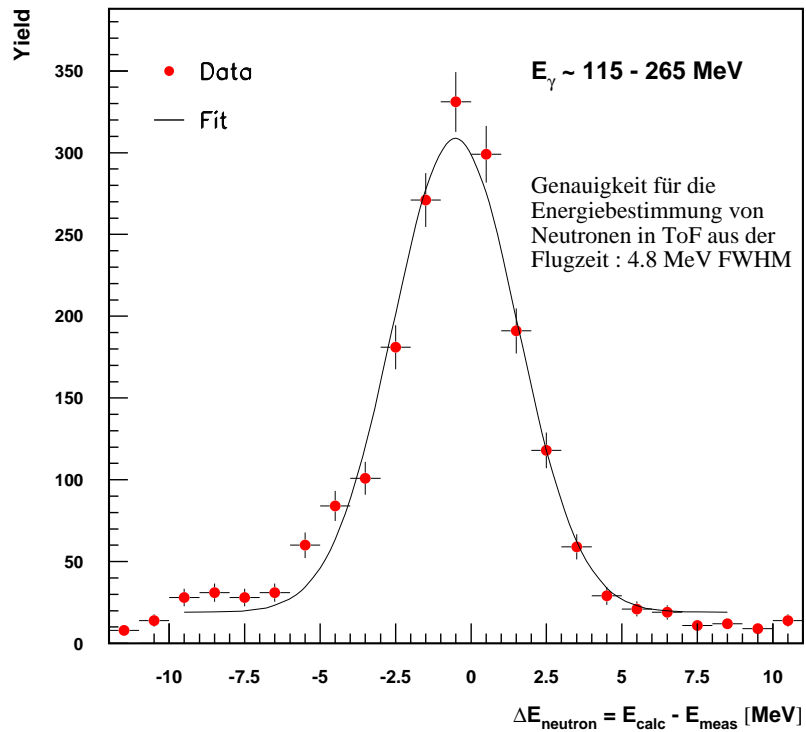


# Aktuelle Auswertung

PiP  
Auflösung

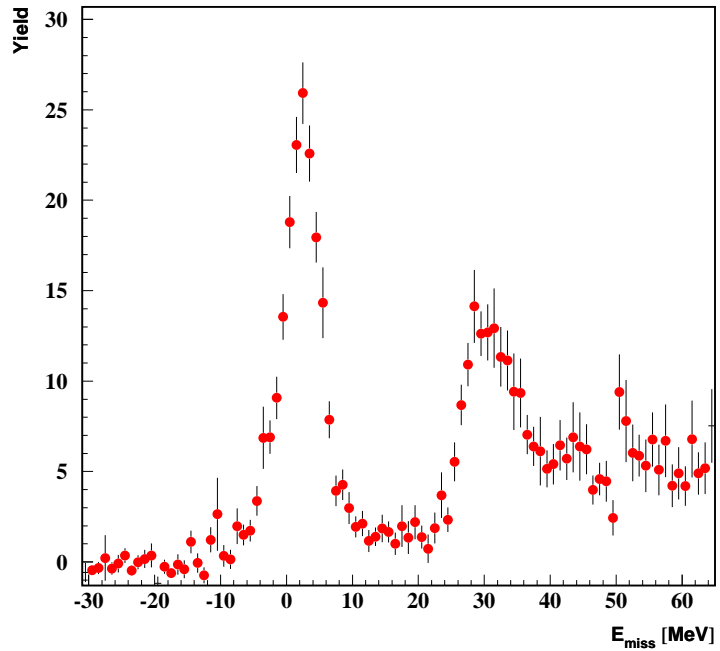


TOF  
Auflösung

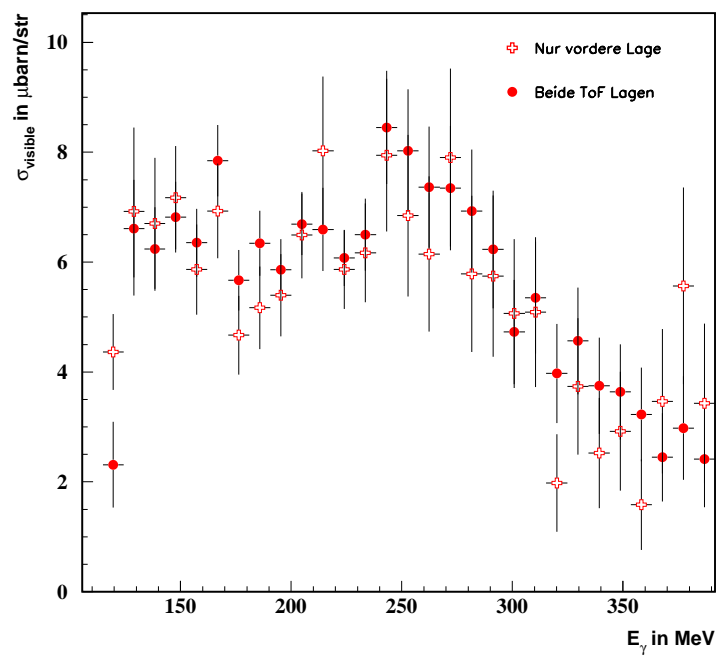


## Aktuelle Resultate

$\text{CD}_2 E_m$   
Spektrum

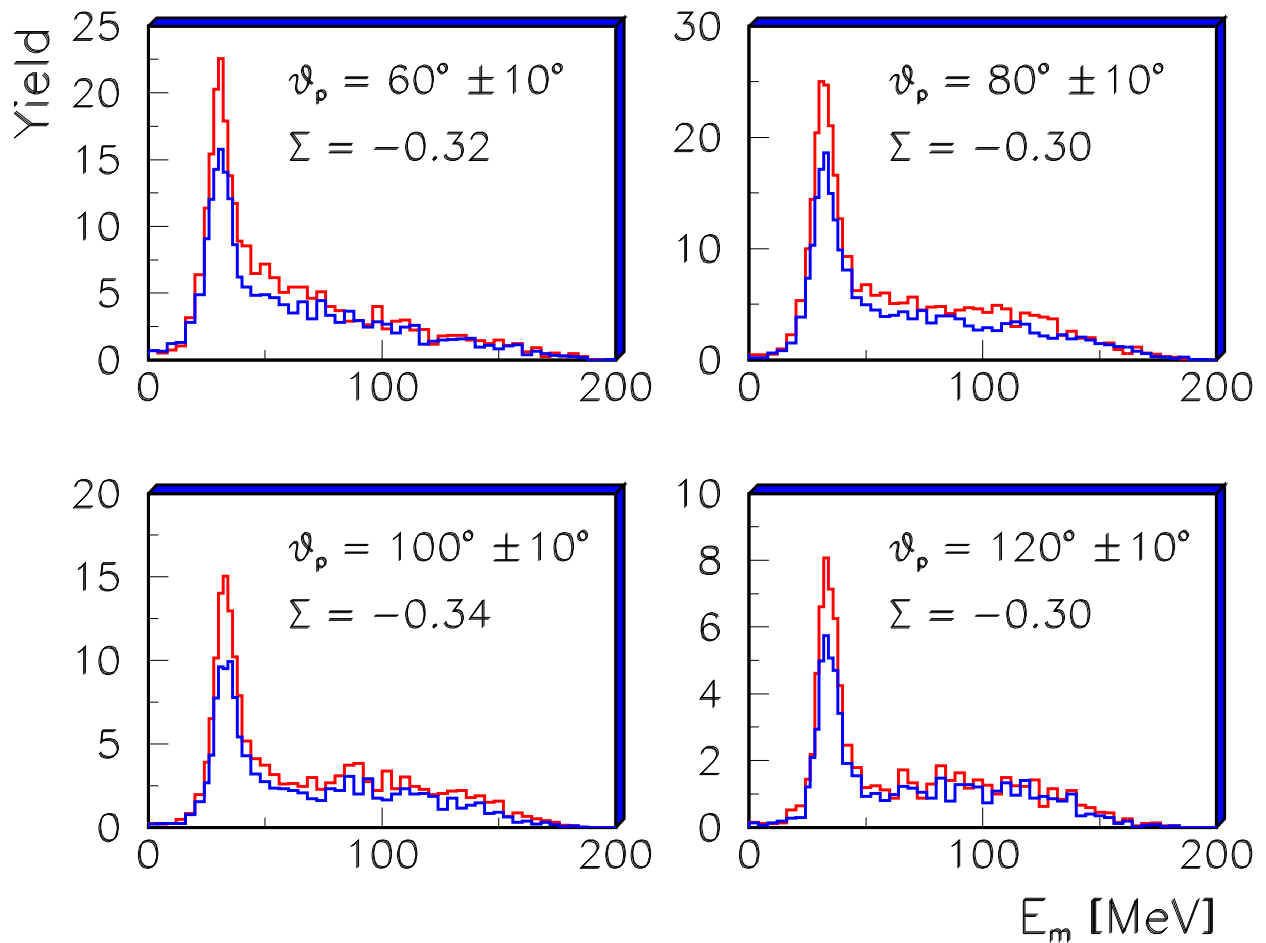


$\text{CD}_2$  Photo-  
absorptions-  
querschnitt



## $^4\text{He}$ Photonasymmetrie

$^4\text{He}(\vec{\gamma}, \text{np})$  Photonasymmetrie bei  $E_\gamma = 220\text{MeV}$ ,  
senkrechte und parallele Polarisation:



*vorläufig !*



## Zusammenfassung

- $^{12}\text{C}$ ,  $^6\text{Li}$  Experimente erbrachten ein relativ gutes Verständnis der zugrunde liegenden Reaktionsmechanismen
  - mit Valencia Modell studiert
  - Methode zur Abtrennung der 2N Absorption
- Photoasymmetrie Messung an  $^4\text{He}$  und  $^{12}\text{C}$  erfolgreich abgeschlossen (96)
  - zuverlässige Daten und gute Statistik
  - ermutigende vorläufige Ergebnisse
- Hohe Relativimpulse in photoinduzierter Reaktion beobachtet

## Ausblick

- Auswertung des  $^4\text{He}$  Experiments beenden  
→ Photonasymmetrie ( $\Sigma$ ) in Abängigkeit von  $E_\gamma$  und  $\theta$
- $^{12}\text{C}$  Auswertung ( $\Sigma$ ) durch Gruppen in Glasgow, Edinburgh
- Genauere Rechnungen notwendig, besonders  $^4\text{He}$   
→ Weitere Zusammenarbeit mit Theoretikern aus Gent, Trento, Pavia, Valencia, Tübingen
- Hochauflösendes  $^{16}\text{O}$  Experiment (Proposal)

